

## Vaisala RS92 及 Meisei RS06G 探空儀交互比對實驗與相對溼度校正

黃紹欽<sup>1</sup> 劉清煌<sup>2</sup> 黃惠君<sup>3</sup>

<sup>1</sup> 中國文化大學地學研究所

<sup>2</sup> 中國文化大學大氣科學系

<sup>3</sup> 中央氣象局第二組

### 摘 要

臺灣目前共有六個常規探空站，由中央氣象局及空軍負責維護及進行每日兩次之高空觀測，各站使用之探空系統及探空儀型號也有所不同，過去已有許多研究顯示不同探空儀特性亦不相同，有些型號甚至存在顯著之乾偏差，因此，使用資料前宜有適當地溼度校正及品質控管程序。本研究使用 2012 年 7-8 月於中央氣象局永康氣象站進行之探空儀 (Vaisala RS92 與 Meisei RS06G) 交互比對實驗探空資料，結果顯示 Meisei RS06G 在低邊界層及中高對流層之相對溼度有乾偏差 (dry bias) 存在，低邊界層偏差量約為 3-6% 左右，中高對流層則可達到 15% 以上，經過校正後，RS92 及 RS06G 之可降水量分別提升 6% 及 10%，顯示使用原始探空資料前若未先進行溼度場校正，則可能低估大氣中的可降水量，進而影響數值模式之降雨估計。

**關鍵詞：**VS92，MS06，乾偏差，溼度校正。

### 一、前言

臺灣於 1949 年起於臺北氣象站開始進行高空觀測，全臺目前共有六個常規探空站，主要由中央氣象局及空軍負責維護及進行每日兩次之高空觀測，分別為板橋 (46692，中央氣象局)、馬公 (46734，空軍)、屏東 (46750，空軍)、綠島 (46780，空軍)、花蓮 (46699，中央氣象局) 及東沙 (46810，中央氣象局)。另外，中央氣象局臺南永康氣象站 (46741) 早期為常規式探空站，但後期已改採不定期觀測，僅有特殊需求時才進行高空觀測。要注意的是，各探空站使用不同之高空觀測系統，同一站在不同時期甚至也

採用不同系統或不同型號之探空儀進行觀測，臺灣所使用之探空儀主要有 Vaisala (芬蘭)、Meisei (日本) 及 GRAW (德國) 三種系統，各系統依風場測量方式又分為全球定位系統 (Global Position System, GPS) 與追蹤式 (Tracking) 並採用不同型號之探空儀。早期中央氣象局以 Meisei 追蹤式 (探空儀型號: RS2-80) 及 GPS 式 (探空儀型號: RS-06G, 後稱 MS06) 為主，但自 2010 年後已陸續將更換為 Vaisala GPS 系統 (探空儀型號: RS92, 後稱 VS92)，GRAW 系統則由陸軍及海軍移動式高空觀測系統使用，臺灣地區現有固定探空站資訊如表 1 所示。

過去已有不少研究 (Wang et al. 2003; Nuret et al. 2008; Wang and Zhang 2008;

Miloshevich et al. 2009) 指出各種不同廠牌與不同型號探空儀之觀測資料有不同之特性，特別是相對溼度場，有些型號之探空儀明顯有乾偏差存在，例如 Vaisala RS80 (Ciesielski et al. 2009; Turner et al. 2003)，因此，使用觀測資料前，宜有適當地品質控管及溼度校正程序。高空觀測資料之溼度校正於國外已有多年之研究經驗 (Loehrer et al. 1996; Wang et al. 2002; Ciesielski et al. 2003; Nakamura et al. 2004)，主要將探空儀與另一獨立觀測儀器同時升空 (Miloshevich et al. 2004; Wang et al. 2013) 以獲得在不同溫度及溼度下之溼度校正表，相關研究在國內仍屬偏少，僅 2008 年西南氣流實驗期間，分別於 4 月、6 月及 10 月分別針對不同探空儀進行交互比對實驗，Ciesielski et al (2010) 提出適用於臺灣暖季 (4-6 月) 時，Meisei 追歐式 (探空儀型號：RS2-80)、Vaisala GPS (探空儀型號：RS-80) 的溼度校正表。為了釐清 MS06 探空儀之溼度量測是否有乾/溼偏差存在，中央氣象局第二組委託中國文化大學大氣科學系於 2012 年 7-8 月進行 VS92 與 MS06 探空儀之比對實驗，由於 VS92 為目前全球公認資料品質較佳之探空儀，因此，希望藉由此比對實驗來獲得一組適用於 MS06 探空儀溼度校正資料庫。本文結構如下：在第二節中將會介紹比對實驗及研究方法；在第三節中，將分析兩種不同探空儀觀測資料之特性及差異性；第四節為溼度場之校正；第五節為本文所得到的結果與討論。

## 二、探空比對實驗與研究方法

探空比對實驗於 2012 年 7 月 1 日至 8 月 31 日舉行，實施地點位於臺南市中央氣象局永康氣象站，實驗進行期間，僅於每日 0000UTC 施放，為了確定兩種探空儀能獲得相同時間及高度之觀測資料，將兩種不同廠

牌之探空儀綁在架子上，並繫於 800 公克氣球上同時升空，實驗期間，共收集 58 顆比對探空資料，其中晴天 48 顆，雨天 10 顆，此組資料將供交互比對研究使用。

### 1. 不同探空儀觀測資料比對：

取得高時間解析度 (VS92 為 2 秒，MS06 為 4 秒) 原始探空資料後，先將兩探空儀之資料分別內差至每 5 hPa 氣壓層後，計算其差值，比較兩者所觀測到之氣象資料差異：

$$d(\text{參數}) = \text{MS06} - \text{VS92}$$

由於兩者之風場皆採用全球定位系統，可預期兩者差異性較小，故在本文中不加以說明。

### 2. 累積分布函數配對法 (Cumulative Distribution Function matching method, CDF)：

CDF 配對法 (Nuret et al., 2008; Ciesielski et al., 2009) 乃是假設兩種不同探空儀施放地點具有相似的環境，代表兩者具有接近均勻的大氣條件存在，才会有類似的統計條件，由於溼度的偏差亦存在於垂直方向，因此，在執行 CDF 配對法時，不同的溫度區間會有不同的溼度校正。本研究選取溫度範圍為 +40°C 至 -80°C，每 20°C 為一區間，溼度範圍 0% 至 100%，每 5% 為一區間，以 MS06 為基準，計算各不同溫度區間內，在相同累積頻率下，VS92 與 MS06 之相對溼度差值，最後便可得到 CDF 校正表，此校正表的橫座標及縱座標分別為 MS06 之相對溼度及溫度，因此，我們可以得到 MS06 探空儀在不同溫度與溼度下的校正量，此方法的應用將可校正 MS06 的溼度場，使資料品質達到 VS92 的水準。

此外，由於日間及夜間 (晴天及雨天) 之大氣環境條件有相當大之不同，故 CDF 校正表必須將不同天氣型態區分出來，然因

本研究僅進行每日 0000UTC 之高空觀測，故本文無法獲得夜間之校正表，僅針對晴天及雨天分別進行 CDF 配對法。

### 3. 溼度場校正一日間太陽加熱影響：

Vaisala 探空儀之相對溼度在夜間的偏差很小 (甚至沒有)，僅日間有較嚴重的乾偏差 (dry bias)，此乾偏差主要來自於溼度感應器受到太陽加熱影響，易於被校正，Yoneyama et al. (2008)、Cady-Pereira et al. (2008) 及 Vömel et al. (2007) 皆曾提出不同之校正法，本研究採用 Cady-Pereira et al. (2008) 之方法，其藉由比較探空與衛星反演之總可降水量 (Total Precipitable Water, TPW)，針對 Vaisala 不同型號之探空儀發展出一套日間溼度校正法，主要假設在低對流層，平均溼度偏差為太陽天頂角之函數，日間輻射加熱校正係數為：

$$SF = 1.0 + \alpha \exp\left[\frac{-0.2}{\cos(SZA)}\right]$$

SF 為一比例係數 (Scale Factor)； $\alpha$  為常數，由溼度感應器受太陽加熱影響之程度決定，RS80 探空儀為 0.067，VS92 則為 0.093；SZA 則代表太陽天頂角，為測站經緯度、時間及年份。Ciesielski et al. (2010) 使用此方法針對 2008 年西南氣流實驗 (Southwest Monsoon Experiment/ Terrain-influenced Monsoon Rainfall Experiment, SoWMEX/TiMREX) 之探空資料進行溼度場之校正，結果顯示 Vaisala RS92 探空儀經過校正後可得到更為合理的溼度場。

MS06 經過 CDF 校正後，可得到與 VS92 相似之溼度場，最後仍需進行日間太陽輻射加熱效應之校正，由於 MS06 採用與 VS92 相同之溼度感應器，唯一差異在於 MS06 溼度感應器上方有保護蓋 (與 Vaisala RS80-H 相同)，受太陽加熱影響程度較小，故 MS06

之  $\alpha$  採用 0.067。

校正步驟如下：取得原始探空資料後，需先將所有不同高度之露點溫度轉換成混合比，再將混合比乘上 SF，最後，用新混合比計算出新的露點溫度。

## 三、探空比對實驗

兩探空儀不同氣象參數之差異性如圖 1 所示，圖 1a 為不同氣壓高度下，相對溼度之分布，實線為平均值，在 200-800 hPa 間，兩者差異較小，平均差異在  $\pm 5\%$  內；低層 (800 hPa 以下) 及高層 (200 hPa 以上)，MS06 明顯偏低，特別是在 200 hPa 以上，甚至會比 VS92 低 15% 以上。圖 1b 為不同溫度下之相對溼度分布，高溫 ( $> 20^\circ\text{C}$ ) 及低溫 ( $< -50^\circ\text{C}$ ) 時，Meisei 之相對溼度皆較低，最大差異出現在溫度低於  $-70^\circ\text{C}$  時，這與 1a 結果相似。圖 1c 則為不同相對溼度下之相對溼度差異，兩探空儀僅在高相對溼度環境中，MS06 觀測到之相對溼度較低，特別是在相對溼度 90% 以上時，此外，以比濕 (圖 1d) 來表示環境之水氣含量，結果顯示水氣量較低 (比溼  $< 12 \text{ g} \cdot \text{kg}^{-1}$ ) 時，兩者差異在  $\pm 1 \text{ g} \cdot \text{kg}^{-1}$  內，但隨著水氣量增加，MS06 乾偏差越來越明顯。在溫度方面 (圖 1e)，兩探空儀差異較小，平均約為  $-0.2^\circ\text{C}$ ，MS06 有輕微之冷偏差 (cold bias)。此外，由於兩種系統採用不同高度計算法，Vaisala 系統是由氣壓值垂直向上積分而得出，而 Meisei 系統則直接採用 GPS 高度，兩者也會有所差異，結果 (圖 1f) 顯示高度差隨氣壓降低而增加，到了 100 hPa 時，MS06 甚至比 VS92 低 30 公尺。

交互比對實驗於西南季風活躍 (7-8 月) 的環境中進行且天秤颱風 (Tembin) 於 8 月 24 日至 28 日在臺灣南部地區有顯著降雨事

件發生，說明臺灣南部地區應有較高之飽和層出現頻率，圖 2 為相對溼度-溫度分布圖，結果顯示在水象過程(溫度 $>0^{\circ}\text{C}$ )中，Meisei (圖 2b) 達到飽和之資料筆數明顯低於 Vaisala (圖 2a)，且 Meisei 觀測到之相對溼度多在 90% 以下；而在冰象過程(溫度 $<0^{\circ}\text{C}$ )，雖然 Meisei 達到飽和之資料筆數略多，但與 Vaisala 相比下，仍屬偏少。由於 VS92 為目前世界公認品質最佳之相對溼度觀測(日間太陽輻射加熱所導致的乾偏差被校正後)，因此，此結果也表明 MS06 探空儀所量測到之相對溼度略低，有乾偏差(dry bias)存在。

整層大氣之可降水量(Precipitable Water, PW)亦可藉由探空剖面計算得出，此為數值模式降兩預報中較重要的參數之一，VS92 經日間太陽輻射加熱校正後之 PW 已與 GPS 衛星反演出之結果非常接近(Wang et al. 2008; Ciesielski et al., 2010)，圖 3 為可降水量差異散布圖，MS06 會低估大氣中的可降水量，在越潮溼的大氣環境條件下越明顯，這也再一次表示 MS06 探空儀有輕微之乾偏差存在，在使用未經校正之觀測資料時需謹慎小心。

#### 四、溼度場校正

取得探空原始資料後，先將 VS92 與 MS06 進行 CDF 配對，以得到適用於暖季(5-9 月)時，MS06 日間相對溼度校正表(圖 4)，橫坐標及縱座標分別為 MS06 之相對溼度及溫度，此校正表將先用來校正 MS06 之相對溼度。接著，VS92 及 MS06 分別進行日間太陽輻射加熱校正，由於探空儀在雨天時較不會受到太陽直接加熱影響，因此，僅晴天施放之探空資料需進行此溼度校正，於實驗期間，共有 58 筆可供交互比對之探空資料，晴天 48 顆，雨天 10 顆。

晴天環境下(圖 4a)，溫度大於 $0^{\circ}\text{C}$ 時，中/高相對溼度(大於 55%)有約 3-6%之乾偏差，峰值位於溫度 $30^{\circ}\text{C}$ 及相對溼度 75-80% 間，而低相對溼度時兩者差異較小，MS06 甚至有輕微之濕偏差(0-3%)。若溫度小於 $0^{\circ}\text{C}$ ，MS06 乾偏差更為明顯，且隨溫度降低而增加，峰值出現於溫度 $-70^{\circ}\text{C}$ 及相對溼度 40% 處，乾偏差超過 15%。

在雨天環境中(圖 4b)，溫度大於 $0^{\circ}\text{C}$ 時，VS92 及 MS06 差異較小，僅在相對溼度介於 55-95% 時，MS06 有約 3% 之乾偏差。溫度小於 $0^{\circ}\text{C}$ 時，MS06 在乾燥環境下(相對溼度小於 50%)有濕偏差存在，偏差量隨高度增加而增加，兩個最大中心分別位於 $-30^{\circ}\text{C}$  與及相對溼度 50% 以及 $-70^{\circ}\text{C}$  與相對溼度 20% 處；在潮濕環境下則有乾偏差，特別是在相對溼度大於 80% 時，皆有 3-6% 之乾偏差存在。此結果也表示 MS06 在暖季時，若邊界層為較潮溼之大氣環境，MS06 有明顯之乾偏差，因此，使用探空原始資料前實有必要先進行相對溼度場之校正。

圖 5 為大氣中之可降水量時間序列，結果顯示校正前(三角形)，MS06 乾偏差較為明顯，平均可降水量約為 51.9mm，VS92 則為 54.9mm，MS06 約比 VS92 低 5%。雖然 VS92 相對溼度之品質較佳，但仍存在已知之乾偏差，此偏差量易於被校正，經日間太陽輻射校正後，VS92 之可降水量提升至 58.1mm，與校正前相比，亦有約 6% 的提升。MS06 之溼度校正包含 CDF 配對法及太陽輻射校正，校正後，平均可降水量提升至 57.8mm，比校正前高 5.9mm。此結果也表明，若直接使用未經校正之 MS06 探空資料，將會低估大氣中之可降水量，進而影響數值模式之降雨估計。

#### 五、結論與討論

臺灣曾在 2008 年 SoWMEX/TIMREX 期間進行探空儀比對實驗，當時主要針對 Vaisala RS92-RS80 及 Meisei RS2-80 探空儀進行交互比對，Ciesielski et al. (2010) 利用此資料庫已建立 Vaisala RS80 及 Meisei RS2-80 探空儀之相對溼度校正表並進行資料品質控管及溼度校正，結果顯示經過校正後之探空資料能夠真實的掌握大氣中的水氣含量。本研究則建立 Meisei GPS 探空儀 (MS06) 於暖季時之相對溼度校正資料庫，可用來校正臺灣 Meisei GPS 探空儀 (MS06) 之相對溼度觀測資料，使其更接近真實之大氣環境條件，結果顯示在晴天時，MS06 在低邊界層(溫度大於 $20^{\circ}\text{C}$ )及中高對流層(溫度小於 $-40^{\circ}\text{C}$ )時所觀測到之相對溼度有乾偏差存在，低邊界層約為 3-6%，中高對流層則為 6-18%；在雨天時，MS06 於潮濕環境下仍有 3-6% 之乾偏差，而在乾燥環境中則為濕偏差，濕偏差隨溫度降低而增加。因此，使用探空資料前若未先進行相對溼度場校正，則可能低估大氣中的可降水量。探空資料目前被廣泛地應用在數值模式或是個案分析研究上，特別是對定量降水預報來說，若直接使用具有乾偏差探空儀之觀測資料，有可能使數值模式中之降雨量低估。

#### 致謝

本研究在國家科學委員會計畫 NSC 101-2625-M-034 -002 與 NSC 102-2625-M-034-002 及中央氣象局委託計畫 MOTC-CWB-101-M-09、MOTC-CWB-101-M-16 與 MOTC-CWB-102-M-12 經費支持下完成，研究中所使用之電腦設備由中國文化大學大氣科學系提供，在此一併致謝，亦特別感謝中

央氣象局的協助，使實驗計畫可順利進行。

#### 六、參考文獻

- Cady-Pereira, K. E., M. W. Shepherd, D. D. Turner, E. J. Mlayer, S. A. Clough, T. J. Wagner, 2008: Improved daytime column-integrated precipitable water vapor from Vaisala radiosonde humidity sensors. *J. Atmos. Oceanic Technol.*, **25**, 873-883.
- Ciesielski, P. E., R. H. Johnson, P. T. Haertel, and J. Wang, 2003: Corrected TOGA COARE sounding humidity data: Impact on diagnosed properties of convection and climate over the warm pool. *J. Climate*, **16**, 2370-2384.
- , Richard H. Johnson, and Junhong Wang, 2009: Correction of Humidity Biases in Vaisala RS80-H Sondes during NAME. *J. Atmos. Oceanic Technol.*, **26**, 1763-1780.
- , and Coauthors, 2010: Quality-Controlled Upper-Air Sounding Dataset for TIMREX/SoWMEX: Development and Corrections. *J. Atmos. Oceanic Technol.*, **27**, 1802-1821.
- Loehrer, S. M., T. A. Edmands, and J. A. Moore, 1996: TOGA COARE upper-air sounding data archive: development and quality control procedures. *Bull. Amer. Meteor. Soc.*, **77**, 2651-2671.
- Miloshevich, L. M., A. Paukkunen, H. Vomel, and S. J. Oltmans, 2004: Development and validation of a time-lag correction for Vaisala radiosonde humidity measurements. *J. Atmos. Oceanic Technol.*, **21**, 1305-1327
- , Holger Vömel, David N. Whiteman, and

Thierry Leblanc, 2009: Accuracy assessment and correction of Vaisala RS92 radiosonde water vapor measurements. *J. Geophys. Res.*, 114, D11305.

Nakamura, H., H. Seko, and Y. Shoji, 2004: Dry biases of humidity measurements from the Vaisala RS80-A and Meisei RS2-91 radiosondes and from ground-based GPS. *J. Meteor. Soc. Japan*, 82, 277–299.

Nuret, M. I.-P. Lafore, O. Bock, F. Guichard, A. Augusti-Panareda, J.-B. N’Gamini, and J.-L. Redelsperger, 2008: Correction of humidity bias for Vaisala RS80-A sondes during AMMA 2006 observing period. *J. Atmos. Oceanic Technol.*, 25, 2152–2158.

Turner, D. D., B. M. Lesht, S. A. Clough, H. E. Revercomb, and D. C. Tobin, 2003: Dry bias and variability in Vaisala RS80-H radiosondes: The ARM experience. *J. Atmos. Oceanic Technol.*, 20, 117–132.

Vömel, H., H. Selkirk, L. Miloshevich, J. Valverde-Canossa, J. Valdés, E. Kyrö, R. Kivi, W. Stolz, G. Peng, and J. A. Diaz, 2007: Radiation dry bias of the Vaisala RS92 humidity sensor. *J. Atmos. Oceanic Technol.*, 24, 953–963.

Wang, Junhong, H. L. Colclough, D. J. Carlson, E. R. Miller, K. Beierle, A. Paukkunen, and T. K. Laine, 2002: Corrections of humidity measurement errors from the Vaisala RS80 radiosonde - Application to TOGACOARE data. *J. Atmos. Oceanic Technol.*, 19, 981–1002.

——, D. J. Carlson, D. B. Parsons, T. F. Hock, D. Lauritsen, H. L. Cole, K. Beierle, and N. Chamberlain, 2003: Performance of operational radiosonde humidity sensors in direct comparison with a chilled mirror

dew-point hygrometer and its climate implications. *Geophys. Res. Lett.*, 30, 1860.

——, Liangying Zhang, 2008: Systematic Errors in Global Radiosonde Precipitable Water Data from Comparisons with Ground-Based GPS Measurements. *J. Climate*, 21, 2218–2238.

——, Liangying Zhang, Aiguo Dai, Franz Immmler, Michael Sommer, Holger Vömel, 2013: Radiation Dry Bias Correction of Vaisala RS92 Humidity Data and Its Impacts on Historical Radiosonde Data. *J. Atmos. Oceanic Technol.*, 30, 197–214.

Yoneyama, K., M. Fujita, N. Sato, M. Fujiwara, Y. Inai, and F. Hasebe, 2008: Correction for radiation dry bias found in RS92 radiosonde data during the MISMO field experiment. *SOLA*, 4, doi: 10.2151/sola.2008-04.

表 1. 臺灣現有地基高空觀測站資訊。

站碼	站名	負責單位	探空儀廠牌及型號		風場測量方式	使用期間
46692	板橋	中央氣象局	Meisei	RS2-80	追蹤式	1973-2010/08
			Vaisala	RS-92	GPS	2010/08 至今
46699	花蓮	中央氣象局	Vaisala	RS-80	追蹤式	1987 至今
46734	馬公	空軍	Vaisala	RS-80	追蹤式	1952 至今
46741	永康	中央氣象局	Meisei	RS2-80	追蹤式	—
			Meisei	RS06G	GPS	—
46750	屏東	空軍	Vaisala	RS-80	追蹤式	1999
46780	綠島	空軍	Vaisala	RS-80	追蹤式	1985
46810	東沙	中央氣象局	Meisei	RS2-80	追蹤式	2009/06 前
			Vaisala	RS-92	GPS	2009/06 至今

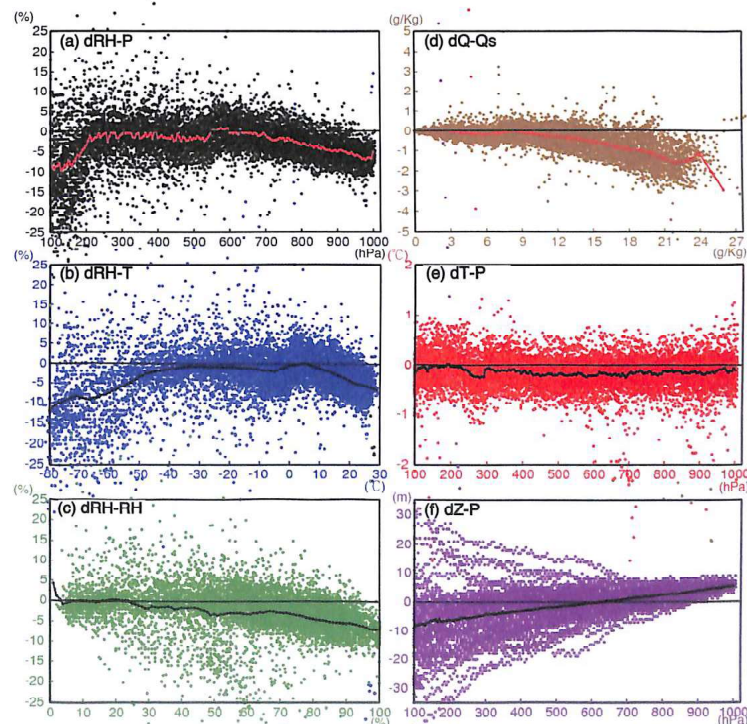


圖 1. 2012 年 7-8 月比對探空各氣象參數之差值散布圖。橫坐標為 Vaisala RS-92 之參數，縱座標為不同氣象參數之差值，(a) 氣壓-相對溼度差、(b) 溫度-相對溼度差、(c) 相對溼度-相對溼度差、(d) 飽和比濕-比濕差、(e) 氣壓-溫度差、(f) 氣壓-高度差。

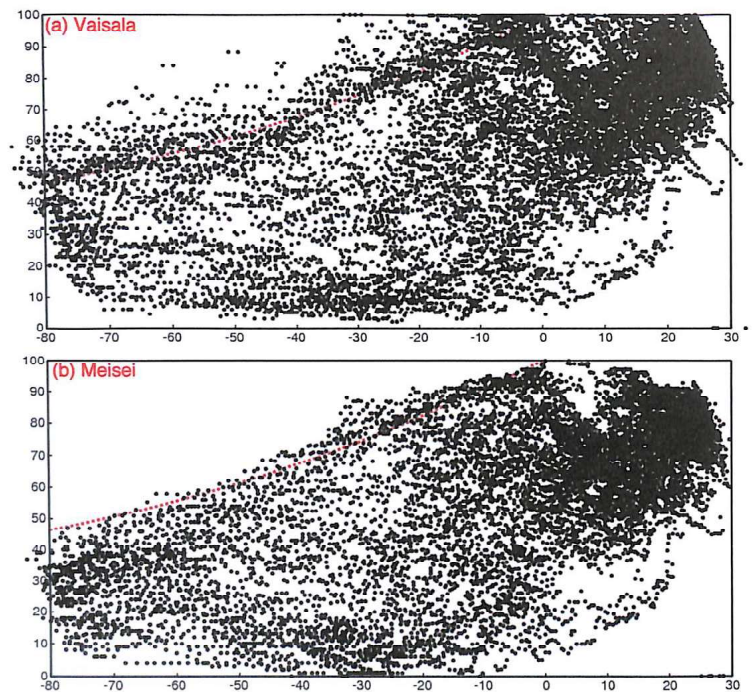


圖 2. 2012 年 7-8 月比對探空之(a) VS92、(b)MS06 相對溼度分布圖，橫坐標為溫度，縱坐標為相對溼度，紅色虛線為冰之飽和線。

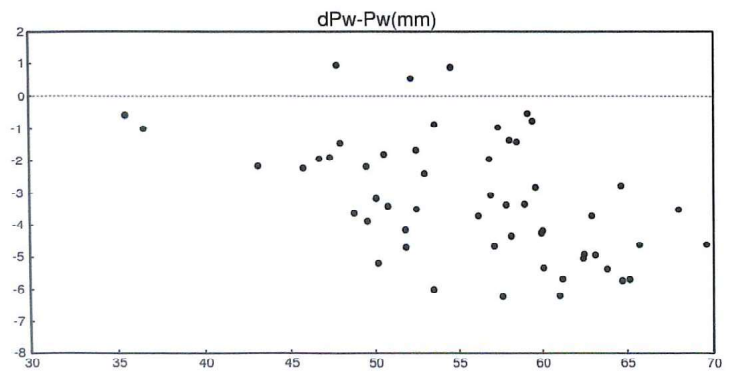


圖 3. 2012 年 7-8 月比對探空之可降水量差值散布圖，橫坐標為 Vaisala RS-92 之可降水量，縱坐標為可降水量差值。

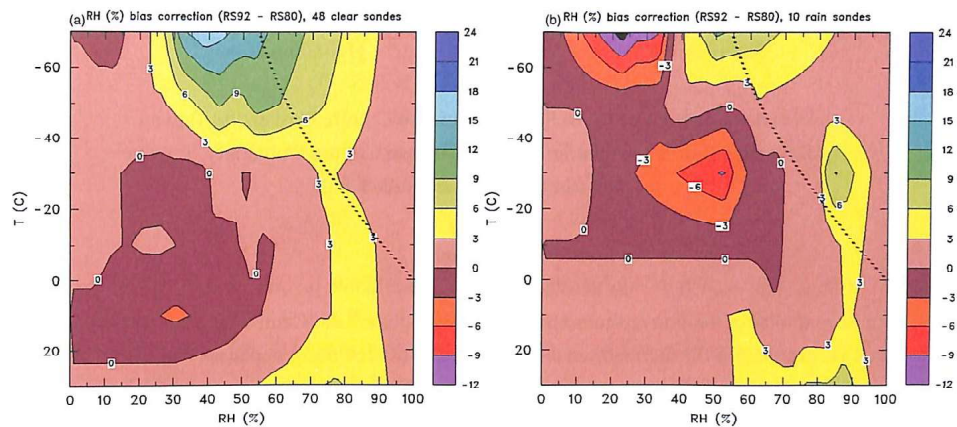


圖 4. (a)晴天及(b)雨天時，利用 CDF 配對法(MS06 與 VS92)，所有溫度及溼度區間下之 MS06 相對溼度偏差校正表，點線代表冰的飽和點，橫坐標與縱坐標分別為 MS06 之相對溼度與溫度。

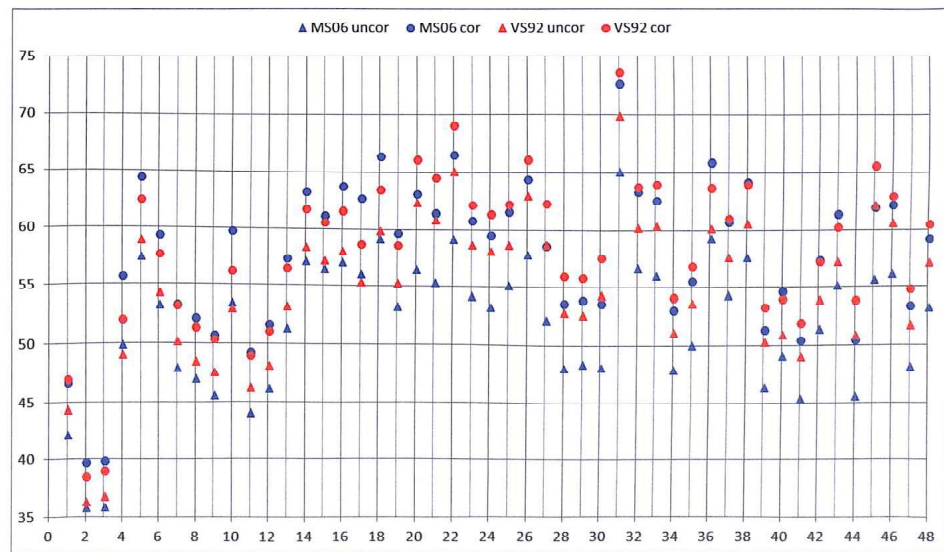


圖 5 可降水量時間序列圖，藍色為 MS06，紅色為 VS92，▲與●分別為校正前跟校正後之可降水量 (mm)。

## Inter-comparison and Humidity Correction between Vaisala RS92 and Meisei RS06G Radiosonde

Shao-Chin Huang<sup>1</sup> Ching-Hwang Liu<sup>2</sup> Hui-Chun Huang<sup>3</sup>

<sup>1</sup> Graduate School of Earth Science, Chinese Culture University, Taiwan

<sup>2</sup> Department of Atmospheric Science, Chinese Culture University, Taiwan

<sup>3</sup> Central Weather Bureau

### Abstract

Taiwan has a total of six conventional radiosonde stations by the Central Weather Bureau and the Air Force is responsible for the maintenance and conduct twice-daily upper air observations. Many studies have shown that the characteristics between different sounding systems/sondes is not the same, some sondes existence significant dry bias, therefore humidity correction and quality control procedure is necessary.

This study uses data that collect by inter-comparison experiment at Central Weather Bureau Yongkang radiosonde station (Vaisala RS92 and Meisei RS06G), results show Meisei RS06G existence dry bias in the low boundary (3-6%) and mid/upper troposphere (more than 15%). After correction procedure, the precipitable water can be improved by 6% (RS92) and 10%(RS06G), respectively. The result indicate that model may underestimate the precipitable water if using humidity field before humidity correction, thereby affecting numerical model precipitation estimates.

**keyword: VS92, MS06, dry bias, humidity correction**